



Московский государственный университет имени М.В. Ломоносова

Факультет вычислительной математики и кибернетики

Магистерская программа «Большие данные: инфраструктуры и методы решения задач»

Черкашин Дмитрий Сергеевич

Параметризация звезд при полном отсутствии астрофизических параметров через их классификацию

НАУЧНАЯ РАБОТА

Научный руководитель:
Научный сотрудник ИПИ РАН
Н. А. Скворцов

Москва, 2019

Содержание

| | | |
|----------|---|-----------|
| 1 | Введение | 3 |
| 2 | Родственные работы | 4 |
| | Методы минимизации функции нескольких переменных | 4 |
| | Методы минимизации функции нескольких переменных | 6 |
| | Interstellar extinction from photometric surveys | 6 |
| | Verification of photometric parallaxes with Gaia DR2 data | 6 |
| 3 | Постановка | 7 |
| | Цель | 7 |
| | Задачи | 7 |
| 4 | Описание и загрузка используемых каталогов звездного неба | 7 |
| | AllWISE Data Release | 7 |
| | DENIS Data Release of the Southern Sky | 8 |
| | Загрузка каталогов звездного неба | 8 |
| 5 | Кросс-отождествление каталогов обзоров звездного неба | 10 |
| | Проблемы, способы решения | 10 |
| | Реализация | 11 |
| 6 | Распределенный алгоритм параметризации звезд | 11 |
| | Алгоритм обратного спектрального анализа | 11 |
| | Реализация | 14 |
| 7 | Планы на будущее | 15 |
| | Список литературы | 16 |

1 Введение

Одной из основных проблем астрофизики является изучение физических свойств, принадлежащих их поверхностным слоям. Поскольку звезды наблюдаются сквозь межзвездную пыль, их свет тускнеет и краснеет, что затрудняет их параметризацию и классификацию. Параметры звезды (температура, гравитация, металличность и т.д.), а также межзвездное поглощение могут быть получены из ее оптического, инфракрасного и ультрафиолетового спектра. Межзвездное поглощение - суммарный эффект рассеивания и истинного поглощения электромагнитного излучения пылью и газом. Знание межзвездного поглощения позволяет правильно интерпретировать наблюдательные данные и корректно оценивать параметры наблюдаемых объектов. Однако для получения параметров звезды и карты межзвездного поглощения нужно использовать большой телескоп или яркие объекты, чтобы получить спектральные распределения энергии с хорошим разрешением и достаточной точностью. Например, спектроскопические наблюдения с длительностью экспозиции 1 час на 2-метровом телескопе с низким ($R \sim 1000$) и высоким ($R \sim 100\,000$) разрешением позволяют это сделать. 8-метровый телескоп справляется еще лучше. Такая работа была выполнена различными авторами, и был создан ряд эмпирических атласов (Straizys и Sviderskiene [1], Глушневa и др. [2], Алексеева и др. [3], Алексеева и др. [4], Pickles [5], Баньюло и др. [6], Ле Боргн и др. [7], Вальдес и др. [8], Хип и Линдлер [9], Фалькон-Баррозу и др. [10], Ву и др. [11]). Однако при сравнении данных для звезд, включенных в несколько атласов, обнаруживается большое количество расхождений [12].

Другим способом построения карты межзвездного поглощения является ее оценка (а также оценка звездных параметров) по эволюционным трекам. Соответствующие процедуры были разработаны в работах Сичевского и Малкова [13], и применены к данным LAMOST. Однако знание звездных атмосферных параметров крайне желательно для применения этих процедур, ограничивая количество звезд, доступных для такой параметризации.

Поэтому решение проблемы параметризации звезд на основе их фотометрии является актуальной проблемой [17]. Большое разнообразие фотометрических систем (см., Например, Straizys [18]) и недавно построенные большие фотометрические обзоры неба (такие как SDSS [19] и GALEX [20]), а также VO-инструменты для перекрестного отождествления объектов создают возможность получения многоцветных фотометрических данных для миллионов объектов. Следовательно, это позволяет параметризовать объекты и определять межзвездное поглощение в Галактике. Однако для данной параметризации необходимы большие вычислительные мощности, которые проще всего получить, используя распределенные алгоритмы.

Сравнительный анализ имеющихся трехмерных карт межзвездного поглощения был сделан Килпио и Малковым [21], и были найдены противоречивые результаты.

Ранние пылевые карты использовали корреляцию между плотностью пылевого столба и распределением нейтрального водорода [25]. Эти данные были вытеснены картами пыли, предоставленными Schlegel et al. [26], который использовал микроволновые данные в

полном небе, предоставленные миссией IRAS (инфракрасный астрономический спутник) и инструментом DIRBE (диффузный инфракрасный фоновый эксперимент) в миссии COBE (Космический Исследователь Фонов). При отображении плотности пылевого столба с помощью откалиброванной температуры пыли карты поглощения, предполагающие стандартный закон поглощения, оказались как минимум в два раза точнее, чем карты Бурштейна и Хейлса [25]. Преимущество этого метода заключается в том, что он не опирается на предварительно определенную модель звездного распределения. Однако данные карты по-прежнему неидеальны, из-за чего получение карты межзвездного поглощения во время решения задачи параметризации звезд позволит провести дополнительное сравнение.

Успешная реализация европейской астрометрической космической миссии Gaia (вторая версия каталога миссий, Gaia DR2, была опубликована в апреле 2018 года [27]) позволяет решить ряд проблем звездной астрономии, таких как определение массы звезды, оценка возраста и другие. В частности, стало возможным улучшить результаты параметризации звезд, проведенной методом многоцветной фотометрии.

Таким образом, проблема параметризации звезд на основе их фотометрии является актуальной на момент написания данной работы.

2 Родственные работы

Методы минимизации функции нескольких переменных

При параметризации звезд потребуется минимизировать функцию нескольких параметров. Рассмотрим возможные методы минимизации.

Метод градиентного спуска

Метод градиента в чистом виде формирует шаг по переменным как функцию от градиента $F(x)$ В текущей точке поиска. Простейший алгоритм поиска $\min F(x)$ записывается в векторной форме следующим образом:

$$x^{i+1} = x^i - h * \nabla f(x^i)$$

В скалярном виде:

$$x_j^{i+1} = x_j^i - h * \frac{df}{dx_j^i}, j = 1, \dots, n$$

Величина рабочего шага в направлении градиента зависит от величины градиента, которую заранее учесть трудно, и от коэффициента пропорциональности шага, с помощью которого можно управлять эффективностью метода. Поиска каждой новой точки состоит из двух этапов:

- Оценка градиента $F(x)$ путем вычисления частных производных от $F(x)$ по каждой переменной x_j

- Рабочий шаг по всем переменным одновременно

Величина h сильно влияет на эффективность метода. Большей эффективностью обладает вариант метода, когда шаг по каждой переменной определяется направляющими косинусами градиента:

$$x_j^{i+1} = x_j^i - h * \cos(\phi_j) = x_j^i - h * \frac{df/dx_j^i}{|\nabla f(x^i)|}$$

Тогда величина рабочего шага не зависит от величины модуля градиента, и ею легче управлять изменением h . Шаг h следует выбирать меньше 0.01, иначе метод расходится (метод может расходиться и при таком шаге в зависимости от исследуемой функции). Но даже для хорошо обусловленных функций проблема выбора шага нетривиальна в силу отсутствия априорной информации о минимизируемой функции. Если шаг выбирается малым (чтобы гарантировать сходимость), то метод сходится медленно. Увеличение же шага (с целью ускорения сходимости) может привести к расходимости метода. Эту проблему решают алгоритмы с коррекцией (дроблением) шага:

- $h^i = \text{const} = h$ (без коррекции)
- $h^i = \begin{cases} \frac{h^{i-1}}{2}, f(x^i) < f(x^{i-1}) \\ h^{i-1}, f(x^i) > f(x^{i-1}) \end{cases}$
- $h^i = \begin{cases} h^{i-1}, \alpha_1 \leq \alpha \leq \alpha_2 \\ 2h^{i-1}, \alpha_1 > \alpha \\ \frac{h^{i-1}}{3}, \alpha_2 < \alpha \end{cases}$

где α - угол между градиентами на предыдущем и текущем шаге; α_1 и α_2 - заданные пороговые значения, выбираются субъективно (например, $\alpha_1 = \pi/6$, $\alpha_2 = \pi/3$). Вдали от оптимума направление градиента меняется мало, поэтому шаг можно увеличить (второе выражение), вблизи от оптимума направление резко меняется (угол между градиентами $f(x)$ большой), поэтому h сокращается (третье выражение).

Для оценки частных производных используются разностные методы:

- Алгоритм с центральной пробой: $\frac{df}{dx_i} \approx \frac{f(x_1, \dots, x_i + g_i, \dots, x_n) - f(x_1, \dots, x_i, \dots, x_n)}{g_i}$
- Алгоритм с парными пробами: $\frac{df}{dx_i} \approx \frac{f(x_1, \dots, x_i + g_i, \dots, x_n) - f(x_1, \dots, x_i - g_i, \dots, x_n)}{2g_i}$

Где g_i - пробный шаг по i -й переменной, выбираемый достаточно малым для разностной оценки производной. Первый вариант требует меньших затрат по сравнению со вторым (обычно затраты выражаются количеством вычислений критерия оптимальности), но позволяет получить решение менее точно, чем второй, и эта погрешность зависит от величины пробного шага. Условием окончания поиска может являться малость модуля градиента $F(X)$.

Основным недостатком градиентного метода является необходимость частого вычисления производных от функции $F(x)$. Этого недостатка лишен метод наискорейшего спуска.

Метод наискорейшего спуска

В текущей точке вычисляется $\nabla f(x)$, и затем в направлении градиента ищется $\min f(x)$. Практически это может быть осуществлено любым методом одномерной оптимизации (поиск по одному направлению – направление градиента), наиболее часто используется сканирование до первого локального минимума по направлению $\nabla f(x)$. В результате вдали от оптимума эффективность метода повышается, мы быстрее попадем в район оптимума, в окрестности которого эффективность метода снижается из-за частой смены направления поиска и приближается к эффективности метода градиента. В ряде случаев используют уменьшение шага поиска оптимума по направлению после каждой смены направления. Условием окончания поиска в этом случае является достижение заданной малой величины шага.

Методы минимизации функции нескольких переменных

Interstellar extinction from photometric surveys: application to four high-latitude areas. [29]

В данной работе представлены различные аспекты и экспериментальные результаты параметризации звезд по многоцветной фотометрии, обсуждается построение трехмерной карты галактического межзвездного поглощения.

Было показано, что с помощью достаточно качественной фотометрии можно рассчитать трехмерную карту поглощения, сравнив каталогизированную многоцветную фотометрию с фотометрией, полученной из уравнения модуля расстояний, закона межзвездного поглощения и расстояния. Отсутствие самосогласованной фотометрии для звезд, перечисленных в одном обзоре, ранее препятствовало такому определению, но это стало возможным в современных крупных многоцветных обзорах и в эпоху Виртуальной обсерватории.

С появлением крупных, существующих и будущих фотометрических съемок и развитием вычислительной мощности и методов анализа данных (в частности, VO-инструментов для перекрестного отождествления), поглощение теперь может быть вычислено для миллионов звезд в разумных пределах времени.

Verification of photometric parallaxes with Gaia DR2 data. [30]

В этой статье описывается проверка метода, проанализированного в [29] с использованием данных Gaia DR2, обсуждается, как включение параллаксов Gaia в процедуру повышает точность параметризации, и как выбирать / обрабатывать объекты с неизвестным параллаксом Gaia для параметризации.

Было показано, что параметризация звезд ближе 4400 pc является успешной при условии правильного определения класса светимости, представляется целесообразным включить в процедуру параметризации информацию о фотометрии не MC-звезд (суб-карликов, гигантов

и супергигантов), взятую из литературы или определенную собственными усилиями.

3 Постановка

Цель

Разработка методов и средств распределенного анализа данных в области звездной астрономии и астрофизике.

Задачи

- Разработка концептуального представления данных о фотометрических спектрах звёзд и отображение в него схем оригинальных каталогов для трансформации данных множественных наблюдений звёзд в общее представление.
- Разработка подхода к организации доступа и разрешению сущностей (перекрёстному отождествлению) среди множественных наблюдений звёзд в неоднородных данных обзоров неба.
- Модификация алгоритма параметризации звезд на основе методов решения обратных задач
- Разработка параллельной распределённой реализации предложенных подходов

4 Описание и загрузка используемых каталогов звездного неба

В рамках курсовой взяты отдельные каталоги из множества потенциально применимых при решении данной задачи, и небольшой участок звездного неба, сектор с центром в созвездии Гидра радиусом 5° . Для возможности распределенной обработки каталоги необходимо загрузить в hdfs.

AllWISE Data Release

Wide-field Infrared Survey Explorer - это миссия NASA Medium Class Explorer, которая провела цифровую съемку всего неба в середине 3.4, 4.6, 12 и 22 полосы пропускания (далее W1, W2, W3 и W4). Программа AllWISE расширяет работу успешной миссии Wide-field Infrared Survey Explorer, объединяя данные с этапов криогенной и посткриогенной съемки, чтобы сформировать наиболее полное представление о среднем инфракрасном небе, доступном в настоящее время. AllWISE выпустил новый каталог источников и атлас изображений с повышенной чувствительностью и точностью по сравнению с более ранними выпусками данных WISE. Усовершенствованная обработка данных для AllWISE использует два полных

покрытия неба для измерения движений источника для каждого источника каталога и для создания обширной базы данных для этих объектов.

| Атрибут | Описание |
|---------|--|
| AllWISE | WISE Название каталога релизов All-Sky |
| DEJ2000 | Склонение (J2000) |
| RAJ2000 | Прямое восхождение (J2000) |
| Hmag | Величина в диапазоне H (1,65 мкм) |
| e_Hmag | Погрешность по величине H |
| Jmag | Величина в диапазоне J (1,25 мкм) |
| e_Jmag | Погрешность по величине J |
| Kmag | Величина в диапазоне K (2.17 мкм) |
| e_Kmag | Погрешность по величине Ks |
| W1mag | Величина в диапазоне W1 (3,35 мкм) |
| e_W1mag | Погрешность по величине W2 |
| W2mag | Величина в диапазоне W2 (4.6 мкм) |
| e_W2mag | Погрешность по величине W2 |
| W3mag | Величина в диапазоне W3 (11,6 мкм) |
| e_W3mag | Погрешность по величине W3 |
| W4mag | Величина в диапазоне W4 (22,1 мкм) |
| e_W4mag | Погрешность по величине W4 |

Таблица 1: Список атрибутов каталога

DENIS Data Release of the Southern Sky

Этот каталог является последней инкрементной версией проекта DENIS. Он состоит из набора 355,220,325 точечных источников, обнаруженных при обследовании DENIS в 3662 полосах (охватывающих каждые 30 градусов по склонению и 12 угловых минут при прямом восхождении). Данные в этом выпуске охватывают приблизительно 16700 квадратных градусов южного неба. Положение общего извлеченного точечного источника обеспечивается точность лучше 1 арксек, а его величина лучше 0,1 мкс. Ученые и инженеры из семи европейских стран и из Бразилии участвуют в оценке и анализе данных.

Загрузка каталогов звездного неба

Для загрузки, а так же для последующих вычислений, был использован фреймворк Apache Spark версии 2.4.0.cloudera2 через Scala версии 2.11.12. Данные были загружены

| Атрибут | Описание |
|---------|------------------------------------|
| DENIS | DENIS идентификатор |
| DEJ2000 | Склонение (J2000) |
| RAJ2000 | Прямое восхождение (J2000) |
| Imag | Величина в диапазоне I (0,83 мкм) |
| e_Imag | Погрешность величины в диапазоне I |
| Jmag | Величина в диапазоне J (1,25 мкм) |
| e_Jmag | Погрешность величины в диапазоне J |
| Kmag | Величина в диапазоне K (2.17 мкм) |
| e_Kmag | Погрешность величины в диапазоне K |

Таблица 2: Список атрибутов каталога DENIS

через API с сайта <http://vizier.u-strasbg.fr> при помощи пакета `org.apache.http`, после чего загружать на hdfs в формате ORC.

В результате было загружено 135.677 звезд из каталога DENIS и 1.169.013 звезд из каталога ALLWISE.

Выбранная для хранения схема:

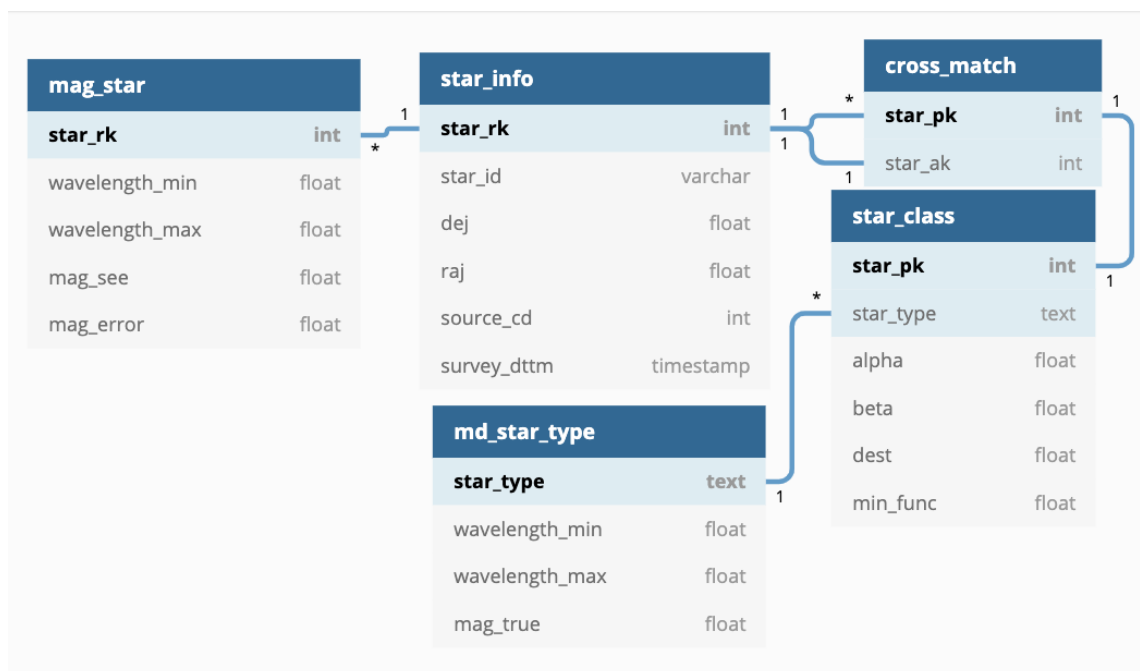


Рис. 1: Гистограмма расстояния между координатами в ALLWISE и DENIS

- *star_info* - Основная информация о звезде: сгенерированный ключ, ключ в источнике, координаты, код источника, дата создания обзора
- *mag_star* - Видимый спектр звезды: сгенерированный ключ, рассматриваемый интервал длины волны, блеск для данного интервала, ошибка блеска для данного интервала

- *cross_match* - Результат кросс-отождествления каталогов: родительский ключ звезды, дочерний ключ звезды
- *md_star_type* - Справочная информация о типах звезд: рассматриваемый интервал длины волны, блеск для данного интервала
- *star_class* - Результат параметризации звезд: сгенерированный ключ, тип звезды, параметры α, β, d , значение функционала (см. реализацию алгоритма параметризации)

5 Кросс-отождествление каталогов обзоров звездного неба

Проблемы, способы решения

Задача кросс-отождествления объектов в разных каталогах состоит в поиске проявлений одного и того же источника в двух или более списках координат. При этом приходится иметь дело со следующими проблемами:

- плохая координатная точность, разные системы координат каталогов, разные эпохи наблюдений (для случаев большого собственного движения), что приводит к тому, что координаты одного и того же объекта в разных списках в общем случае не совпадают либо систематически, либо случайным образом;
- разные чувствительности и, следовательно, разные предельные величины в каталогах. В итоге объект может присутствовать только в одном из списков, а в более глубоких каталогах будут присутствовать объекты, которых нет в других списках.

Для отождествления списков объектов могут применяться следующие способы:

- *Структурный*. Выделяются некоторые характерные множества объектов — геометрические конфигурации, и сопоставляются такие конфигурации из разных списков. Основная область применения этого метода — первичная астрометрическая привязка при наблюдениях, сопоставление звезд с кадра (координаты на ПЗС-матрице) и из каталога (координаты на небе). Обычно используется метод треугольников (их углы или отношения сторон инвариантны относительно масштабирования и поворота), однако встречаются алгоритмы, работающие с более сложными конфигурациями.
- *Координатный*. Сопоставляются все объекты разных каталогов, имеющие взаимные расстояния меньше некоторого предела. Это самый простой и часто используемый на практике вариант. Проблемы возникают, если в рассматриваемой окрестности объекта (задаваемой, скажем, точностью определения координат или величиной ожидаемого собственного движения) оказывается несколько объектов-кандидатов из другого каталога — получается неоднозначное сопоставление. Исправляется подбором предела. Есть возможность улучшения точности при помощи использования погрешности измерения координат.
- *Координатное сопоставление с фильтрацией объектов*. Основная идея заключается в использовании дополнительной информации об объектах и введении основанного на

ней критерия, позволяющего выбрать из всех возможных кандидатов наиболее подходящий. Так, если в каталогах имеются измерения в близких спектральных диапазонах, то величины объекта в них будут совпадать (в границах соответствующих погрешностей). Если полосы каталогов существенно различны, можно использовать информацию об ожидаемых показателях цвета объектов — вычислять эти показатели всех пар-кандидатов и отбирать физически разумные либо совпадающие с основной массой показателей цвета всех получаемых пар в исследуемой площадке после фильтрации отскоков. Алгоритм можно улучшить, учитывая эпоху наблюдения - если звезда имеет собственное движение, перекрёстную идентификацию множества её наблюдений лучше проводить между ближайшими по времени наблюдениями.

Реализация

В данной работе используется координатный метод, ввиду простоты его реализации, с планами добавления фильтрации объектов по спектральному диапазону. Для этого был использован пакет AstroML для Spark с пределом расстояния в 1 arcsec, в результате получил 112.531 успешных сопоставлений звезд. (формат на рис.1)

Как видно из гистограммы, основная расстояние между координатами звезды в разных каталогах в пределах 0.5 arcsec.

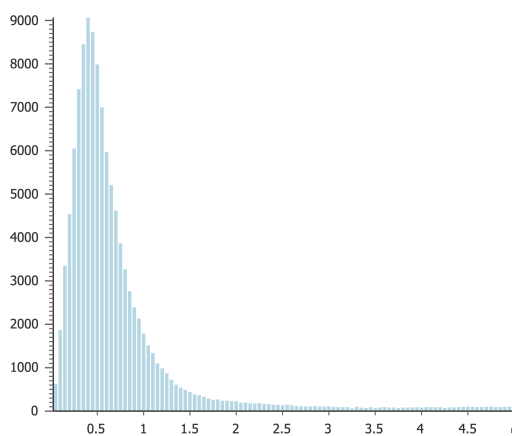


Рис. 2: Гистограмма расстояния между координатами в ALLWISE и DENIS

6 Распределенный алгоритм параметризации звезд

Теория

Для нахождения спектрального типа SpT , расстояния до звезды d и межзвездное поглощение A_V , необходимо минимизировать функционал

$$D^2 = \sum_{i=1}^N \left(\frac{m_{obs,i} - m_{calc,i}}{\Delta m_{obs,i}} \right)^2$$

где суммирование происходит по всем известным диапазонам ($N = 10$), и

$$m_{calc,i} = M_i(SpT) + 5 \log d - 5 + A_i(A_V)$$

где $m_{obs,i}$ и $m_{calc,i}$ – видимая звездная величина (блеск) и ее погрешность наблюдения в i -той фотометрической полосе соответственно.

$A_i(A_V) = k_i * A_V$ - закон межзвездного поглощения для i -той фотометрической полосы. Чем меньше длина волны, тем сильнее эффект межзвездного поглощения (см. Рис. 2). Для того, что бы это учитывать, существует k_i - коэффициент затухания блеска для i -той фотометрической полосы. Такие расчеты поглощения для классических и современных фотометрических систем были сделаны, например, в работах Heiser (1977), Rieke and Lebofsky (1985), Schlegel et al. (1998), Draine (2003), Wright et al. (2010), Schlafly and Finkbeiner (2011), Yuan et al. (2012)[31].

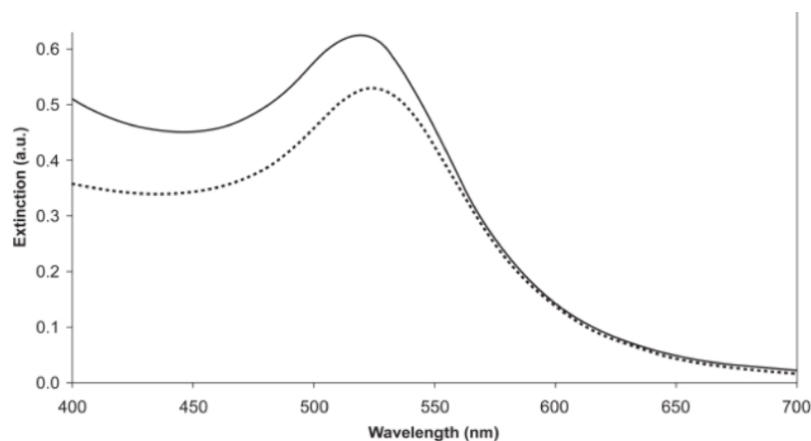


Рис. 3: Абсолютный спектр звезды (непрерывная линия)
и ее видимый спектр (пунктирная линия)

Мы воспользуемся последним источником (см Таблица 3).

| Длина волны | Коэффициент |
|-------------|-------------|
| I | 1.71 |
| J | 0.72 |
| K | 0.30 |
| W1 | 0.18 |
| W2 | 0.16 |
| W2 | 0.14 |
| W2 | 0.11 |

Таблица 3: Коэффициенты межзвездного поглощения

$M_i(SpT)$ - абсолютный блеск в i -той фотометрической полосе. необходимы абсолютные величины звезд разных спектральных типов в соответствующих фотометрических системах.

Такие данные для различных исследований можно найти, например, в Covey et al. (2007), Kraus и Hillenbrand (2007), Findeisen и Hillenbrand (2010), Findeisen et al. (2011), Pecaut and Mamajek (2013)). Данные для М-звезд также можно найти в Bochanski et al. (2007) и West et al. (2011).

| SpT | MB | MR | MI | MJ | MK | MW1 | MW2 | MW3 | MW4 |
|-----|------|------|------|------|------|------|------|------|------|
| B8 | 0.32 | 0.39 | 0.04 | 0.34 | 0.62 | 0.01 | 0.10 | 0.11 | 1.00 |
| A0 | 1.58 | 0.47 | 0.72 | 1.04 | 1.28 | 0.54 | 0.58 | 0.56 | 0.30 |
| A2 | 2.41 | 1.22 | 1.39 | 1.65 | 1.87 | 1.12 | 1.15 | 1.12 | 1.10 |
| A5 | 3.14 | 1.88 | 1.95 | 2.15 | 2.32 | 1.53 | 1.52 | 1.48 | 1.75 |
| A7 | 3.47 | 2.21 | 2.23 | 2.40 | 2.55 | 1.75 | 1.71 | 1.66 | 2.08 |
| F0 | 3.94 | 2.77 | 2.68 | 2.79 | 2.90 | 2.10 | 2.01 | 1.96 | 2.61 |
| F2 | 4.23 | 3.10 | 2.96 | 3.04 | 3.13 | 2.32 | 2.20 | 2.14 | 2.89 |
| F5 | 5.01 | 3.90 | 3.68 | 3.69 | 3.74 | 2.85 | 2.67 | 2.61 | 3.61 |
| .. | .. | .. | .. | .. | .. | .. | .. | .. | .. |

Таблица 4: Абсолютные значения видимой звездной величины при различных спектральных типах звезд

A_V - коэффициент преломления для звезды, находящейся на расстоянии d , вычисляется по формуле:

$$A_V(d, b) = \frac{a_O \beta}{\sin |b|} \left(1 - e^{-\frac{d \sin |b|}{\beta}} \right)$$

a_O - коэффициент поглощения (параметр), β - коэффициент вертикального поглощения преломляющегося света, b - долгота

Реализация

Алгоритм реализован на Spark. Для каждой звезды ищем минимум функционала

```
pow((((col("Imag") - (col("MI") + lit(5) * log(col("b"))) - lit(5) +
col("I") * (col("a_0") * col("beta") * (lit(1) - exp((- col("b") *
sin(abs(col("DEJ2000")))))))/sin(abs(col("DEJ2000"))))))/(col("e_Imag")))
, lit(2)) +
...
...
)
```

Затем отбираем минимальный, репартиционируем, сохраняем

```
res_0
.groupBy(col("DENIS"), col("AllWISE"))
.agg(min(col("functional")).as("functional"))
.join(res_0, Seq("DENIS", "AllWISE", "functional"))
.repartition(2000)
.write.mode("overwrite").saveAsTable("user_dcherkashin.vkr_res");
```

В результате получаем связку «координаты – класс звезды – расстояние до звезды – коэффициент поглощения – коэффициент вертикального поглощения преломляющегося света»

```
+-----+-----+---+---+---+---+
|  RAJ2000|  DEJ2000|SpT| b| a_0|beta|
+-----+-----+---+---+---+---+
|130.895126| 1.711113| B8|30|0.01| 30|
| 134.26753|-1.468054| B8|30|0.01| 270|
| 134.26753|-1.468054| B8|60|0.09| 30|
| 134.26753|-1.468054| B8|30|0.03| 90|
|134.859394| 2.091834| A5|30|0.06| 30|
|134.859394| 2.091834| A5|90|0.01| 180|
|134.859394| 2.091834| A5|30|0.03| 60|
```

| | | | |
|------------|----------|------------|---------|
| 134.859394 | 2.091834 | A5 60 0.02 | 90 |
| 136.378296 | 1.129839 | F0 30 0.06 | 30 |
| 136.378296 | 1.129839 | F0 30 0.03 | 60 |
| | | | |
| +-----+ | +-----+ | +---+--+ | +-----+ |

Результаты очень странные, скорее всего таблица абсолютных значений неверна, но оно слишком долго считается(какая-то дичь либо с репартиционированием, либо с форматом parquet, из-за чего огромный Shuffle Spill, и подсчет ведется только на 8 точках из 1000 доступных) для того, что бы перепроверить это быстро

7 Планы на будущее

- Добавить новые источники (Gaia DR2, IPHAS DR2, LAMOST)
- Реализовать фильтрацию звезд во время перекрестного отождествления
- Доработать алгоритм обратного спектрального анализа таким образом, что бы при минимизации функциоанала учитывались значения полученного коэффициента преломления для соседних звезд, воспользоваться другими подходами к оптимизации процедуры и точности определения параметров.

Список литературы

- [1] *Straizys, V.; Sviderskiene, Z.* Energy distribution in the stellar spectra of different spectral types and luminosities. Vilnius Astronomijos Observatorijos Biuletenis 1972, 35, 3.
- [2] *Glushneva, I.N.; Kharitonov, A.V.; Kniazeva, L.N.; Shenavrin, V.I.* Secondary spectrophotometric standards. Astron. and Astrophys. Suppl. Ser 1992, 92, 1–29.
- [3] *Alekseeva, G.A.; Arkharov, A.A.; Galkin, V.D.; Hagen-Thorn, E.I.; Nikanorova, I.N.; Novikov, V.V.; Novopashenny, V.B.; Pakhomov, V.P.; Ruban, E.V.; Shchegolev, D.E.* The Pulkovo Spectrophotometric Catalog of Bright Stars in the Range from 320 TO 1080 NM. Baltic Astronomy 1996, 5, 603–838.
- [4] *Alekseeva, G.A.; Arkharov, A.A.; Galkin, V.D.; Hagen-Thorn, E.I.; Nikanorova, L.N.; Novikov, V.V.; Novopashenny, V.B.; Pakhomov, V.P.; Ruban, E.V.; Shechegolev, D.E.* The Pulkovo spectrophotometric catalog of bright stars in the range from 320 to 1080 NM - A supplement. Baltic Astronomy 1997, 6, 481–496. Pickles, A.J. A Stellar Spectral Flux Library: 1150-25000 Å. Publ. Astron. Soc. Pac 1998, 110, 863–878. Bagnulo, S.; Jehin, E.; Ledoux, C.; Cabanac, R.; Melo, C.; Gilmozzi, R.; ESO Paranal Science Operations Team. The UVES Paranal Observatory Project: A Library of High- Resolution Spectra of Stars across the Hertzsprung-Russell Diagram. The Messenger 2003, 114, 10–14.
- [5] *Le Borgne, J.F.; Bruzual, G.; Pello, R.; Lancon, A.; Rocca-Volmerange, B.; Sanahuja, B.; Schaerer, D.; Soubiran, C.; Vilchez-Gomez, R.* STELIB: A library of stellar spectra at $R \sim 2000$. Astron. Astrophys 2003, 402, 433–442, [astro-ph/0302334].
- [6] *Valdes, F.; Gupta, R.; Rose, J.A.; Singh, H.P.; Bell, D.J.* The Indo-US Library of Coude Feed Stellar Spectra. Astrophys. J. Suppl. Ser 2004, 152, 251–259, [astro-ph/0402435].
- [7] *Heap, S.R.; Lindler, D.J.* Hubble’s Next Generation Spectral Library (NGSL). From Stars to Galaxies: Building the Pieces to Build Up the Universe; Vallenari, A.; Tantalò, R.; Portinari, L.; Moretti, A., Eds., 2007, Vol. 374, Astronomical Society of the Pacific Conference Series, p. 409.
- [8] *Falcon-Barroso, J.; Sanchez-Blazquez, P.; Vazdekis, A.; Ricciardelli, E.; Cardiel, N.; Cenarro, A.J.; Gorgas, J.; Peletier, R.F.* An updated MILES stellar library and stellar population models. Astron. Astrophys 2011, 532, A95, [1107.2303].
- [9] *Wu, Y.; Singh, H.P.; Prugniel, P.; Gupta, R.; Koleva, M.* Coude-feed stellar spectral library - atmospheric parameters. Astron. Astrophys 2011, 525, A71, [arXiv:astro-ph.SR/1009.1491].
- [10] *Mironov, A.V.; Zakharov, A.I.; Moshkalev, V.G.; Malkov, O.Y.; Kilpio, E.Y.* On the construction of a new 3d atlas of stellar spectral energy distributions. Baltic Astronomy 2014, 23, 286–290.

- [11] *Sichevsky, S.; Malkov, O.* Estimating stellar parameters and interstellar extinction from evolutionary tracks. *Baltic Astronomy* 2016, 25, 67–74.
- [12] *Sichevskij, S.G.* Estimation of a star’s radius from its effective temperature and surface gravity taking into account stellar evolution. *Astronomy Reports* 2016, 60, 816–830.
- [13] *Sichevskij, S.G.* Determining basic characteristics of stars from evolutionary computations. *Astronomy Reports* 2017, 61, 193–205.
- [14] *Sichevskij, S.G.* Estimates of the radii, masses, and luminosities of LAMOST stars. *Astrophysical Bulletin* 2017, 72, 51–57.
- [15] *Malkov, O.Y.* Interstellar Extinction from Large Surveys. *Baltic Astronomy* 2003, 12, 514–519.
- [16] *Straizys, V.* Multicolor stellar photometry; 1992.
- [17] *Malkov, O.Y.* Interstellar Extinction from Large Surveys. *Baltic Astronomy* 2003, 12, 514–519.
- [18] *Straizys, V.* Multicolor stellar photometry; 1992.
- [19] *Aihara, H.; Allende Prieto, C.; An, D.; Anderson, S.F.; Aubourg, E.; Balbinot, E.; Beers, T.C.; Berlind, A.A.; Bickerton, S.J.; Bizyaev, D.; Blanton, M.R.; Bochanski, J.J.; Bolton, A.S.; Bovy, J.; Brandt, W.N.; Brinkmann, J.; Brown, P.J.; Brownstein, J.R.; Busca, N.G.; Campbell, H.; Carr, M.A.; Chen, Y.; Chiappini, C.; Comparat, J.; Connolly, N.* The Eighth Data Release of the Sloan Digital Sky Survey: First Data from SDSS-III. *Astrophys. J. Suppl. Ser* 2011, 193, 29, [arXiv:astro-ph.IM/1101.1559].
- [20] *Martin, D.C.; Fanson, J.; Schiminovich, D.; Morrissey, P.; Friedman, P.G.; Barlow, T.A.; Conrow, T.; Grange, R.; Jelinsky, P.N.; Milliard, B.; Siegmund, O.H.W.; Bianchi, L.; Byun, Y.I.; Donas, J.; Forster, K.; Heckman, T.M.; Lee, Y.W.; Madore, B.F.; Malina, R.F.; Neff, S.G.; Rich, R.M.; Small, T.; Surber, F.; Szalay, A.S.; Welsh, B.; Wyder, T.K.* The Galaxy Evolution Explorer: A Space Ultraviolet Survey Mission. *Astrophys. J. Lett* 2005, 619, L1–L6, [astro-ph/0411302].
- [21] *Kilpio, E.Y.; Malkov, O.Y.* A study of interstellar absorption in the galaxy. *Astronomy Reports* 1997, 41, 10–18.
- [22] *Kilpio, E.Y.; Malkov, O.Y.* Development of a synthetic model of interstellar extinction. *Baltic Astronomy* 1997, 6, 358.
- [23] *Hakkila, J.; Myers, J.M.; Stidham, B.J.; Hartmann, D.H.* A Computerized Model of Large-Scale Visual Interstellar Extinction. *Astron. J* 1997, 114, 2043.
- [24] *Malkov, O.; Kilpio, E.* A Synthetic Map of the Galactic Interstellar Extinction. *Astrophys. Space. Sci* 2002, 280, 115–118.

- [25] *Burstein, D.; Heiles, C.* Reddenings derived from H I and galaxy counts - Accuracy and maps. *Astron. J* 1982, 87, 1165–1189.
- [26] *Schlegel, D.J.; Finkbeiner, D.P.; Davis, M.* Maps of Dust Infrared Emission for Use in Estimation of Reddening and Cosmic Microwave Background Radiation Foregrounds. *Astrophys. J* 1998, 500, 525–553, [astro-ph/9710327].
- [27] *Gaia Collaboration.; Brown, A.G.A.; Vallenari, A.; Prusti, T.; de Bruijne, J.H.J.; Babusiaux, C.; Bailer-Jones, C.A.L.; Biermann, M.; Evans, D.W.; Eyer, L.;* Gaia Data Release 2. Summary of the contents and survey properties. *Astron. Astrophys* 2018, 616, A1, [1804.09365].
- [28] *Malkov, O.; Dluzhnevskaya, O.; Karpov, S.; Kilpio, E.; Kniazev, A.; Mironov, A.; Sichevskij, S.* Cross Catalogue Matching with Virtual Observatory and Parametrization of Stars. *Baltic Astronomy* 2012, 21, 319–330.
- [29] *Malkov, O.; Karpov, S.; Kilpio, E.; Sichevsky, S.; Chulkov, D.; Dluzhnevskaya, O.; Kovaleva, D.; Kniazev, A.; Mickaelian, A.; Mironov, A.; Murthy, J.; Sytov, A.; Zhao, G.; Zhukov, A.* Interstellar extinction from photometric surveys: application to four high-latitude areas. *Open Astronomy* 2018, 27, 62–69.
- [30] *Oleg Malkov, Sergey Karpov, Dana Kovaleva, Sergey Sichevsky, Dmitry Chulkov, Olga Dluzhnevskaya, Alexey Kniazev, Areg Mickaelian, Alexey Mironov, Jayant Murthy, Alexey Sytov, Gang Zhao and Aleksandr Zhukov* Verification of photometric parallaxes with Gaia DR2 data 2018
- [31] *H. B. Yuan, X. W. Liu and M. S. Xiang* Empirical extinction coefficients for the GALEX, SDSS, 2MASS and WISE passbands, 2012